



TEC2014-53176-R HAVideo (2015-2017)

High Availability Video Analysis for People Behaviour Understanding

D1.1 v1

System infrastructure

Video Processing and Understanding Lab

Escuela Politécnica Superior

Universidad Autónoma de Madrid

AUTHORS LIST

Juan Carlos SanMiguel

Juancarlos.sanmiguel@uam.es

HISTORY

Version	Date	Editor	Description
0.9	19 December 2015	Juan Carlos San Miguel	Final Working Draft
1.0	20 December 2015	José M. Martínez	Editorial checking

CONTENTS:

1. INTRODUCCIÓN	1
1.1. ESTRUCTURA DEL DOCUMENTO	1
2. INFRAESTRUCTURA DE CAPTURA	2
2.1. CÁMARAS FIJAS	2
2.2. CÁMARAS PTZ (PAN-TILT-ZOOM)	3
2.3. CÁMARAS DE VISIÓN PORTÁTILES	5
2.4. CÁMARA DE PROFUNDIDAD	5
2.5. SISTEMA DE CAPTURA CON LUZ ESTRUCTURADA LÁSER INFRARROJA	6
<i>Emisión de luz estructurada infrarroja</i>	6
<i>Captura de luz estructurada infrarroja</i>	7
3. INFRAESTRUCTURA DE PROCESO	8
3.1. EQUIPAMIENTO	8
3.2. SUBSISTEMAS SOFTWARE DE BASE	8
3.3. ARQUITECTURA DE PROCESO	9
3.3.1. <i>Arquitectura de proceso (software)</i>	10
3.3.2. <i>Arquitectura de proceso (red de distribución)</i>	11

1. Introducción

En este documento se describe la infraestructura de la que dispone actualmente el VPULab para llevar a cabo los desarrollos propuestos en el marco del Proyecto HAVideo.

1.1. Estructura del documento

El documento está estructurado de la siguiente manera:

- Capítulo 1, “Introducción”: describe el objetivo del presente documento
- Capítulo 2, “Infraestructura de captura”.
- Capítulo 3, “Infraestructura de proceso”.

2. Infraestructura de captura

Esta sección describe los dispositivos con que cuenta el Grupo para capturar secuencias de vídeo, tanto en lo referente a cámaras de diversos tipos como a escenarios y sistemas de iluminación.

2.1. Cámaras fijas

La infraestructura actual de cámaras fijas data del año 2005, en que se instaló un sistema de tres cámaras de visión artificial en dos pasillos de acceso de la Escuela Politécnica Superior (ver Fig. 1). Uno de los accesos tiene dos cámaras, para considerar aplicaciones de estéreo-visión; el otro tiene una única cámara con distancia focal variable, lo que permite variar la región de interés. Ambos consideran escenarios con iluminación natural, no artificial, escenarios especialmente adecuados para el conteo de personas, ya que su uso habitual es como pasillos que comunican dos edificios de la Escuela.

Se trata de cámaras digitales, modelo DFW-X710 de SONY, dos de ellas con óptica fija y la tercera con óptica variable. Las cámaras envían secuencias de imágenes sin comprimir (1024x768, color, 15 fps.) a través de un bus IEEE1394, extendido mediante un enlace de fibra óptica (GOF), a un bastidor de PCs. Cada PC recibe la señal de hasta dos cámaras. El bastidor interconecta los PCs de recepción con un servidor de disco a través de una red Gigabit Ethernet, conectada a Internet y protegida por un Firewall.

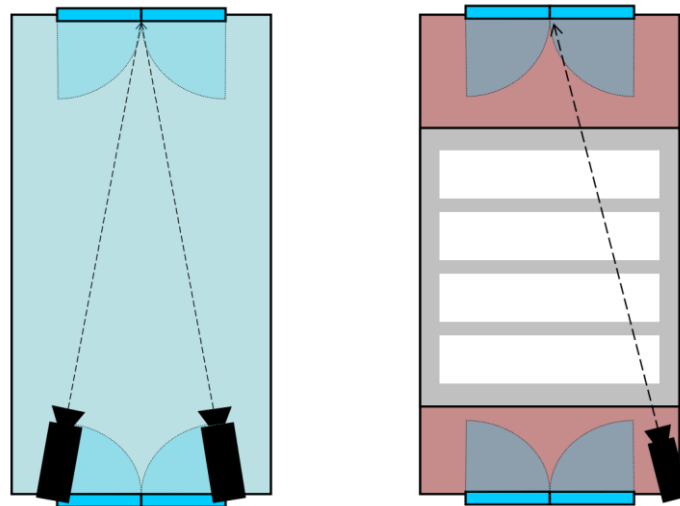


Figura 1. Esquemas de colocación de las cámaras fijas en planta 3 (izda.) y planta baja (dcha.) en la EPS

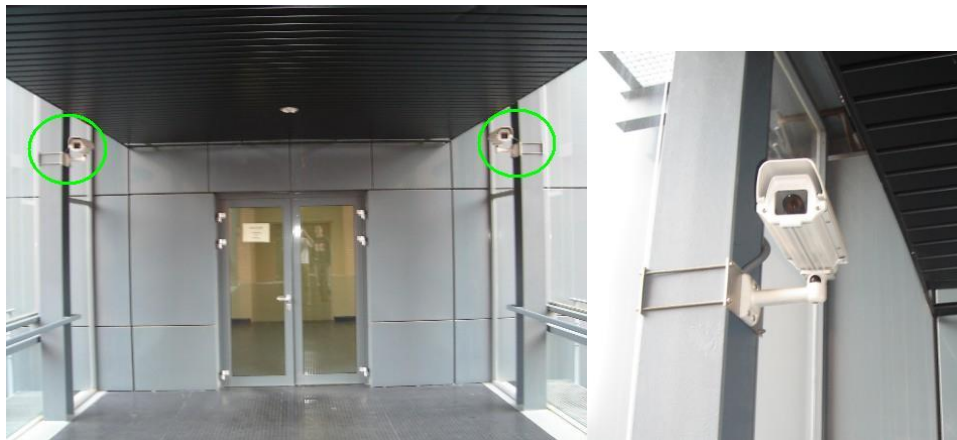


Figura 2. Situación de las cámaras fijas de la planta 3 (izda.) y detalle de una de las cámaras montadas (dcha.)

2.2. Cámaras PTZ (Pan-Tilt-Zoom)

La infraestructura actual data del año 2006, en que se instaló un sistema de tres cámaras PTZ en el vestíbulo de la Escuela Politécnica Superior (ver esquema en Fig. 3, aspecto del área cubierta en Fig. 4, y detalle de una cámara en Fig. 5). El escenario que considera esta instalación es múltiple. Por una parte, un escenario en el que se graba una zona amplia y no diáfana (por motivo de las cuatro columnas centrales) con alta densidad de personas circulando por ella y con iluminación parcialmente natural, ya que el frontal del vestíbulo está acristalado; por otra, teniendo en cuenta que las cámaras laterales pueden orientarse hacia el extremo contrario al vestíbulo, que presenta dos pasillos de acceso a las aulas, se contempla un escenario adecuado para el conteo en situaciones de densidad media y con iluminación eminentemente artificial. En ambos casos la alta reflectividad del suelo plantea complicaciones adicionales al análisis.

Se trata en este caso de cámaras IP digitales PTZ, modelo SNC-RZ50P de SONY. Presentan varios modos de funcionamiento y su posición y distancia focal es controlable por software.

Las cámaras envían secuencias de imágenes comprimidas (JPEG) o directamente un stream de vídeo (MPEG4 o H264) a través de una red Ethernet, a un router Gigabit Ethernet, conectada a Internet y protegido por un Firewall.

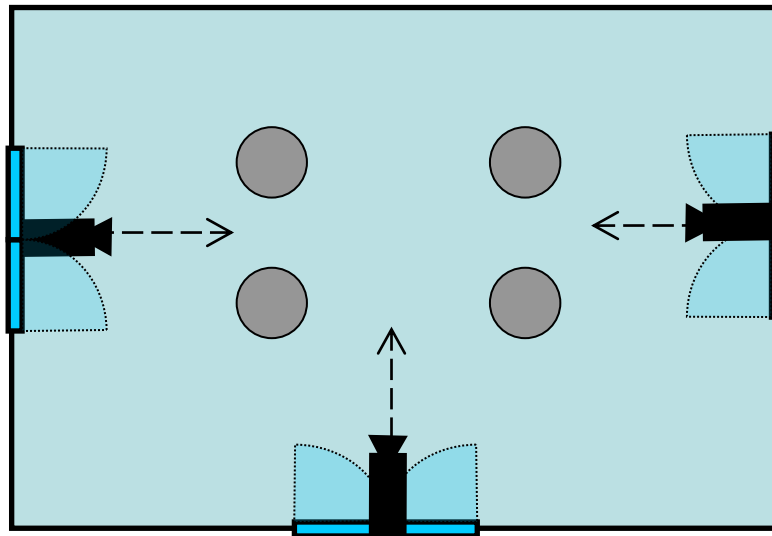


Figura 3. Esquema de colocación de las cámaras PTZ en el hall de la EPS

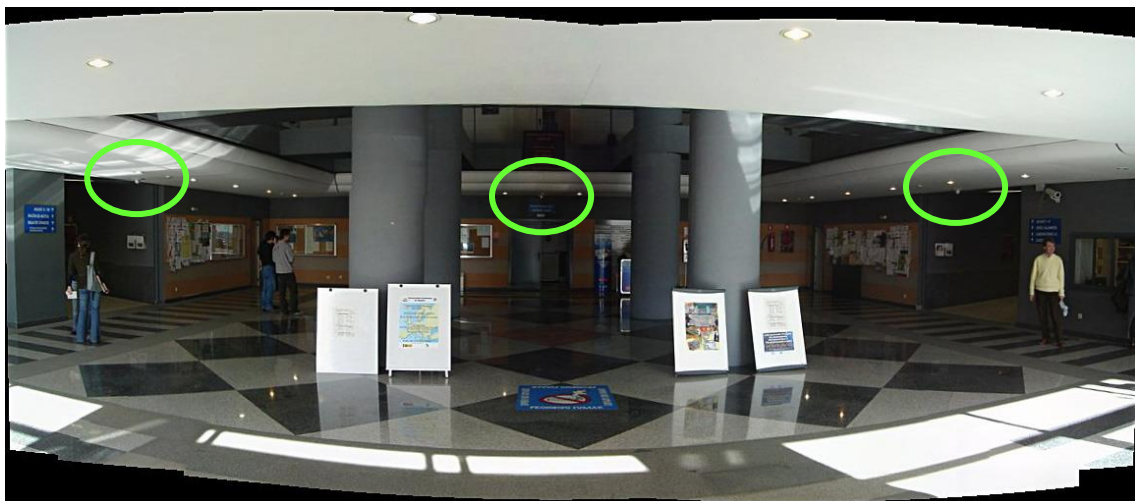


Figura 4. Situación de las cámaras PTZ (izda.) y detalle de una da las cámaras montadas (dcha.)



Figura 5. Detalle de una de las cámaras PTZ situada en el techo del vestíbulo de la Escuela.

2.3. Cámaras de visión portátiles

La infraestructura actual de cámaras de visión portátiles data del año 2007. Consta de dos parejas de cámaras de alta resolución (1600x1200 y 1900x1080) y calidad (captura sin compresión), así como juegos de lentes y de soportes para configurar un equipo de captura multicámara portátil. El esquema está especialmente indicado para escenarios reducidos, del tipo de salas inteligentes, sistemas de visión estéreo, etc.

Se trata de cámaras digitales, modelos Pioneer piA 1600-35gm/gc y piA 1900-32gm/gc de BASLER (ver detalle en Fig. 6). Presentan varios modos de funcionamiento en cuanto a resolución y tasa de cuadro.

Las cámaras envían secuencias de imágenes no comprimidas a través de una red Gigabit Ethernet, normalmente directamente a un equipo portátil.



Figura 6. Detalle de una de las cámaras de visión de alta resolución de BASLER.

2.4. Cámara de profundidad

Aparte de los dispositivos ya descritos, el Grupo dispone de dispositivos de captura especiales que pueden ayudar a resolver problemas de visión en situaciones o contextos complejos.

Uno de ellos es el dispositivo Kinect para Xbox 360 de Microsoft © (ver detalles en Fig. 7). Desde el punto de vista de visión, el dispositivo permite obtener imágenes RGB de una escena, incluyendo para cada píxel la información de la profundidad a la que se encuentra del dispositivo de captura.



Figura 7. Detalle de una de cámara Kinect y de su colocación.

2.5. Sistema de captura con luz estructurada láser infrarroja

EL Grupo dispone de un sistema de emisión de luz estructurada no visible (basada en el uso de un láser infrarrojo y de rejillas de difracción), y una cámara para capturar dicha luz (cámara convencional sin filtro de infrarrojos y con un filtro paso-banda centrado en la banda del láser).

Emisión de luz estructurada infrarroja

La fuente de luz es un láser infrarrojo. Se trata del modelo ZM-18H de la empresa Z-Laser (ver figura 8). Trabaja a una longitud de onda de 808 nanómetros, correspondiente al rango de frecuencias infrarrojas, que son invisibles al ojo humano, lo que evita que interfiera en la escena sobre la que actúa. Su potencia nominal de 100 mW es elevada, lo que exige tener en cuenta los valores de seguridad de la normativa referente a los dispositivos láser. Se ha desarrollado un dispositivo que permite regular la potencia que emite el láser.



Figura 8. Detalle de Z-Laser infrarrojo .

Para la obtención de un patrón de luz estructurada se coloca al láser una lente que idealmente tiene la banda de paso en su misma longitud de onda (para evitar pérdidas). La Fig. 9 muestra ejemplos de los patrones de que se dispone.

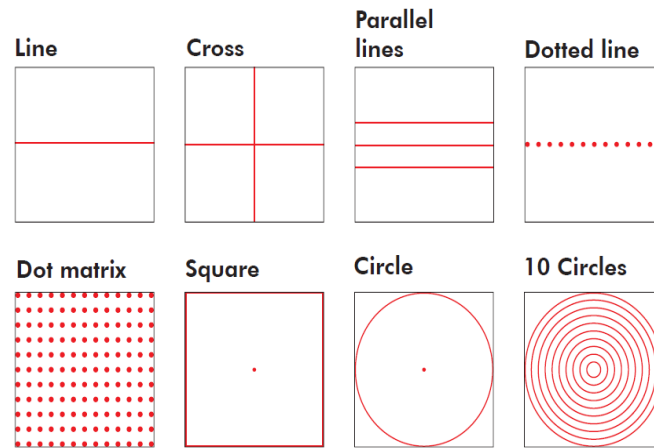


Figura 9. Patrones de luz estructurada generados por las lentes del láser .

Captura de luz estructurada infrarroja

El elemento básico de captura es una cámara IP, modelo CDN-62 con CCD SONY Exview HAD 1/3", escogido por ser especialmente sensible a la luz infrarroja. Esta cámara dispone de un filtro mecánico de IR, que se desactiva al situarla en el modo noche (ver Fig. 10)



Figura 10. Cámara CDN-62 (izda.) y filtros infrarrojos (dcha.)

A fin de obtener máxima sensibilidad al patrón de luz estructurada, frente a la lente de la cámara se incluye un filtro paso-banda de infrarrojos lo más centrado posible en la banda de funcionamiento del láser. En este sentido, se dispone de dos filtros:

- FB810-10: Filtro centrado en 810 nm con una banda de paso de 10 nm, es decir, trabaja entre longitudes de onda de 800 y 820 nanómetros.
- FB800-40: Filtro centrado en 810nm con una banda de paso de 40 nm, es decir, trabaja entre longitudes de onda de 760 y 840 nanómetros.

3. Infraestructura de proceso

Esta sección describe los equipos con que cuenta el Grupo para distribuir y procesar las secuencias procedentes de los sistemas de captura. Se trata de un aspecto de especial importancia, ya que un aspecto fundamental en la filosofía de trabajo del Grupo es desarrollar algoritmos que puedan operar en de tiempo real.

3.1. Equipamiento

Aparte de dispositivos de propósito general, el Grupo dispone de varios servidores exclusivamente dedicados a la ejecución de algoritmos de análisis de las secuencias de vídeo capturadas.

Las características principales de estos equipos, montados en bastidores situados en salas refrigeradas (ver Fig. 11) son:

- DELL R415: Dual Octa Core @ 2.7GHz, 64 GB RAM, SAS RAID
- DELL R300: Dual Core @ 3GHz, 24 GB RAM
- DELL R300: Quad Core @ 2,83GHz, 24 GB RAM
- 2x IBM x346: 2x Xeon @ 3GHz, 4 GB RAM, U320 SCSI RAID



Figura 11. Detalle de equipos de proceso (izda.) y del punto de acceso y control de parte de las cñamaras (dcha.).

3.2. Subsistemas software de base

El Grupo sostiene su infraestructura en un 100% sobre sistemas libres Debian GNU Linux en versión 6 (Squeeze), mediante los cuales se construye una red para trabajar en el procesamiento de vídeo e imágenes de forma segura y multiusuario.

Dado que los equipos están distribuidos en la red de la UAM, es decir, a una red no privada e insegura, el acceso a la información de los dispositivos de captura se realiza a través de equipos terminadores de VPN "site to site" (OpenVPN) que conectan de forma directa con ellos y además nos proporcionan un entorno de trabajo, mediante consola o escritorio remoto, para un primer procesado previo o trabajo más fluido.

Todas estas VPNs se establecen contra un servidor central en nuestro CPD principal. Este equipo proporciona también VPN de tipo "client to site" para facilitar el acceso de los usuarios en itinerancia o cualquier localización remota, controlado por clave y certificado. Adicionalmente actúa como directorio unificado de autenticación (OpenLDAP), que comparten todos los equipos y aplicaciones del entorno, y, entre otras variadas funciones, como DNS local y servidor web del grupo de trabajo.

Una vez garantizada la conectividad y disponibilidad de los datos a procesar, la capacidad de proceso se ofrece a través de una serie de servidores de virtualización formados por varias máquinas corriendo Oracle VirtualBox. De esta forma es posible realizar pruebas o procesamiento en cualquier sistema operativo, así como compatibilizar y monitorizar el consumo de recursos de las máquinas virtuales en ejecución.

Los usuarios almacenan su código en un servidor de repositorios Subversión, en una máquina dedicada con almacenamiento redundado. Así mismo existen "Baúles" de espacio común para el intercambio de datos entre máquinas virtuales, distintos procesos que operan sobre una misma fuente. etc. El almacenamiento de datos se apoya en unidades de red sobre discos NAS de Lacie, modificados para trabajar con Linux en lugar de Windows, ser accesibles por CIFS, NFS y SFTP, y poder así utilizar el directorio común de usuarios y controlar las cuotas de disco de éstos.

Por último se intenta garantizar alta disponibilidad de todos los servicios monitorizandolos mediante Nagios y Cacti.

3.3. Arquitectura de proceso

Sobre la infraestructura descrita, el Grupo ha desarrollado una arquitectura o plataforma que da soporte al desarrollo y ejecución de aplicaciones de análisis de secuencias de vídeo. El término con el que se denomina esta plataforma de desarrollo es DiVA (Distributed Video Analysis).

DiVA establece un entorno distribuido para la intercomunicación simultánea de múltiples fuentes de vídeo con algoritmos de proceso, la conexión en cascada de estos algoritmos de proceso, la visualización de resultados parciales, y la inclusión formalizada de información contextual en el proceso de análisis, todo ello posibilitando que los flujos de datos se procesen en tiempo real. La descripción detallada de esta plataforma puede encontrarse en el D1.2 "DiVA documentation" .

3.3.1. Arquitectura de proceso (software)

Para poder alcanzar este objetivo se ha propuesto un desarrollo modular en distintos subsistemas. Cada subsistema está relacionado con una función específica dentro de la plataforma. Estas funciones contemplan desde la captura de datos desde distintos dispositivos físicos hasta el almacenaje y presentación de los resultados obtenidos por los algoritmos.

Los subsistemas que componen la plataforma se muestran en la siguiente figura

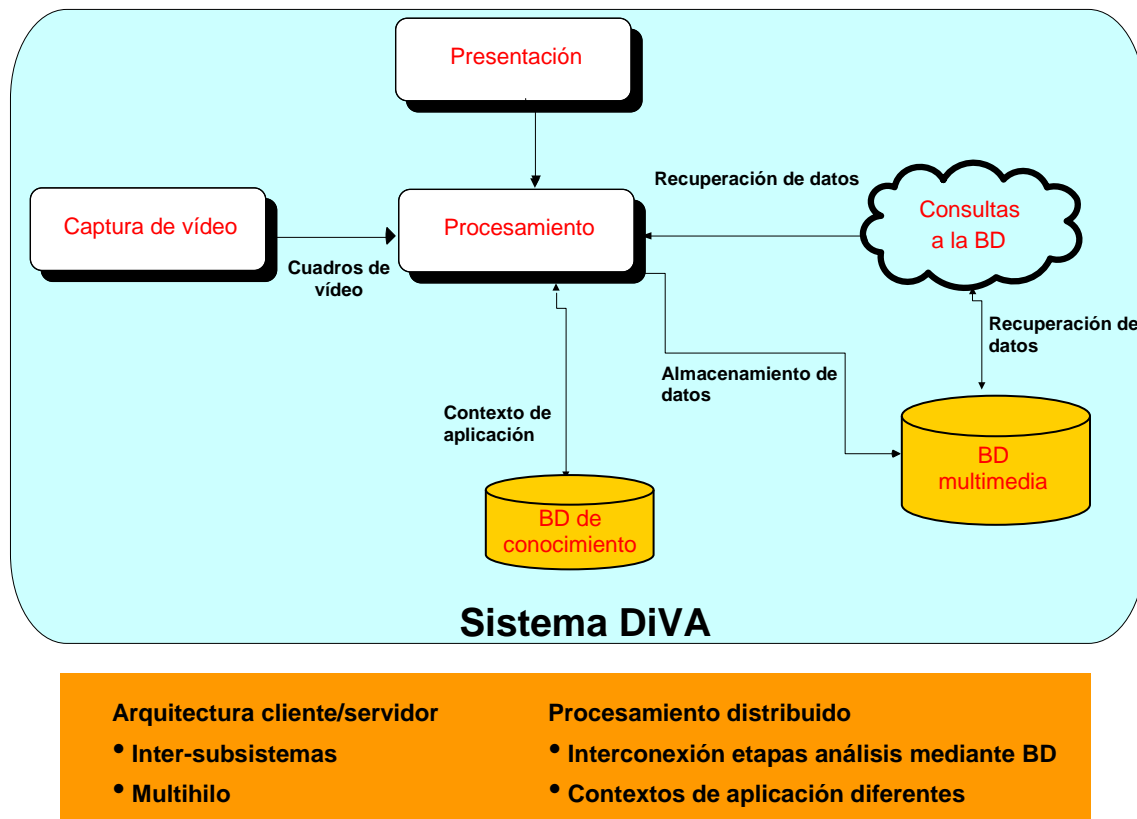


Figura 12. Arquitectura Global de la plataforma DiVA

El esquema de funcionamiento de cada subsistema es el siguiente.

- El *subsistema de captura de datos* reserva los recursos necesarios para su funcionamiento y comienza a capturar datos de las fuentes de vídeo que han sido seleccionadas para capturar señal de vídeo. Dicho sistema de captura dispone de un buffer para almacenar cuadros completos de la señal de vídeo que se transmitirán a los algoritmos de análisis (cuando así lo soliciten).
- El *subsistema de bases de datos* tiene dos objetivos: proporcionar un contexto de aplicación a los algoritmos de análisis y almacenar los resultados del procesado de otros módulos de análisis. Para ello dicho subsistema está compuesto a su vez de otros dos subsistemas que proporcionan las funcionalidades anteriormente descritas.
- El *subsistema de procesamiento* tiene dos objetivos: uno es realizar el propio procesado de la señal de vídeo y otro proporcionar una interfaz de trabajo para cualquier algoritmo de procesado de vídeo (interfaz que gestiona la obtención de

un contexto, el procesamiento de la imagen y el posterior almacenamiento de resultados finales o parciales).

- El *subsistema de presentación de datos* tiene por objetivo la presentación en pantalla de los datos de los análisis resultantes del subsistema de procesamiento. Este sistema permite por ejemplo visualizar en una sola ventana un grupo de imágenes.

Para compartir archivos y recursos la plataforma esta desarrollada bajo un modelo cliente/servidor en el que se separa la parte servidora de contenido (en este caso cuadros de la señal de vídeo) de la parte que lo consume (los clientes).

Los subsistemas que funcionan como servidores de contenido son los subsistemas de captura y almacenamiento de datos mientras que los subsistemas de procesamiento y presentación de datos funcionan como clientes.

A continuación en la siguiente figura se muestra un ejemplo del funcionamiento de dicha arquitectura cliente/servidor.

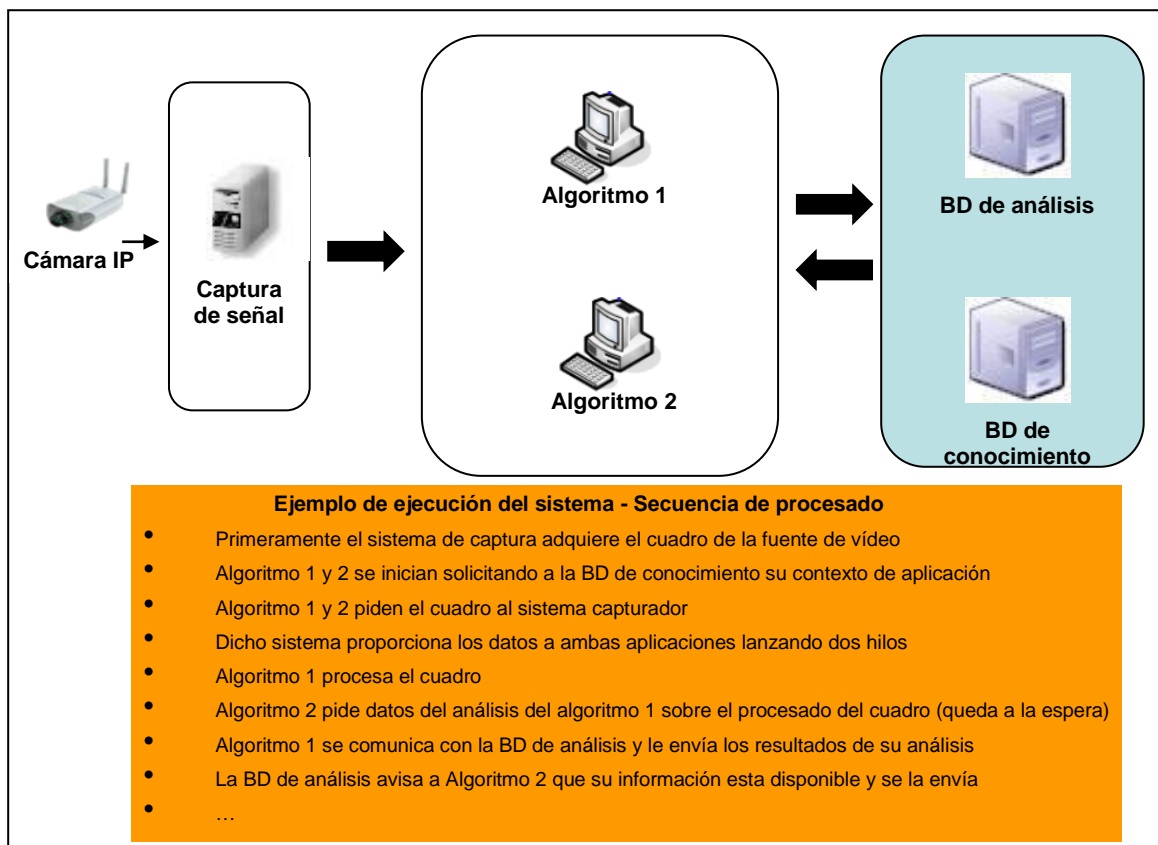


Figura 13 – Ejemplo de ejecución del sistema DiVA mostrando el modelo cliente/servidor y el procesamiento distribuido

3.3.2. Arquitectura de proceso (red de distribución)

Para poder implementar los módulos software anteriormente descritos, se utiliza una red de distribución de datos Ethernet. La red de distribución se compone a su vez de dos subredes: un núcleo central de alta velocidad y una red exterior de velocidad media.

El núcleo central incluye el conjunto de equipos que debido al diseño del sistema necesitan un mayor uso de recursos de red (como son los subsistemas de captura de datos y de almacenamiento en bases de datos). Este sistema consta de varios equipos conectados entre si mediante tecnología Gigabit Ethernet. Además se incluyen todas las conexiones necesarias para la captura de vídeo desde las distintas fuentes de vídeo de la plataforma. Este núcleo de red se conecta con la red exterior mediante un router Gigabit.

La red exterior incluye todos los algoritmos de procesado. Los equipos que ejecutan algoritmos requieren un menor ancho de banda (debido principalmente a que no tienen que realizar múltiples conexiones) y este hecho posibilita su uso en redes de peor calidad. Actualmente la tecnología de dicha subred es de Ethernet a 100Mbps.

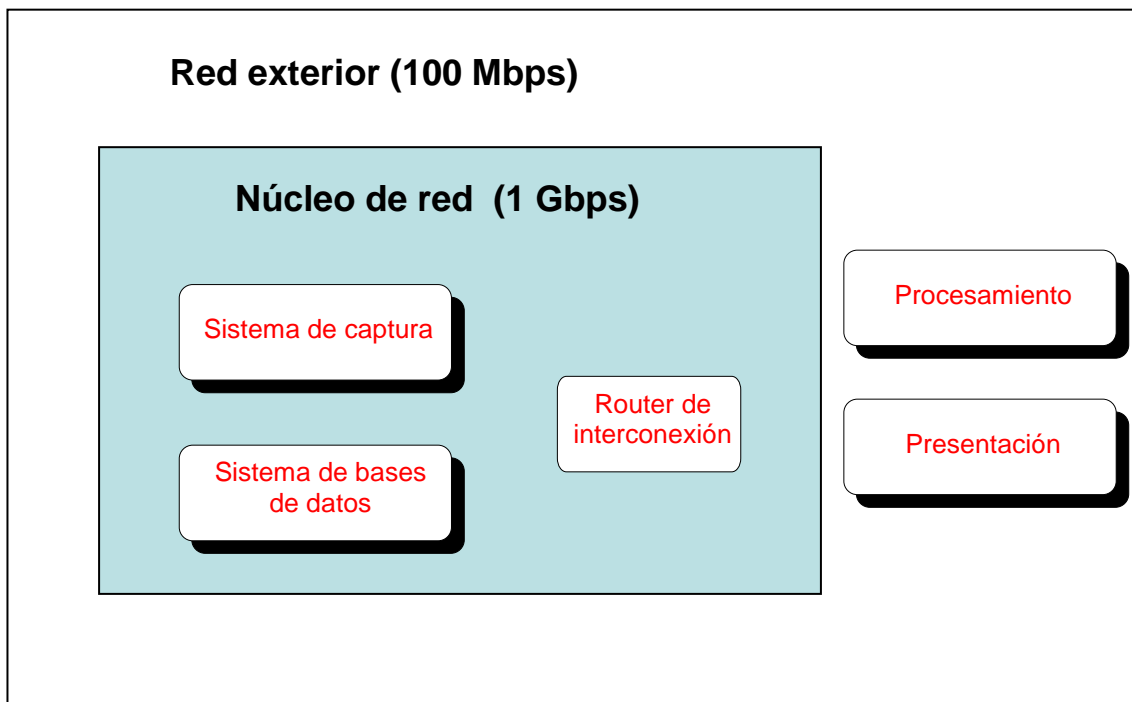


Figura 14 – Arquitectura de red de la plataforma DiVA